

ИСПЫТАНИЕ ЗАЩИТНОГО ПОКРЫТИЯ B₄C ПРИ ОБЛУЧЕНИИ ИНТЕНСИВНЫМИ ПОТОКАМИ ПЛАЗМЫ НА УСТАНОВКЕ КСПУ-Т

O.I. Buzhinskij¹, V.A. Barsuk¹, L.B. Begrambekov², N.S. Klimov^{1, 2}, V.G. Otroshchenko¹, A.B. Putrik¹

¹ГНЦ РФ Троицкий институт инновационных и термоядерных исследований, Троицк, Москва, Россия

²Национальный исследовательский ядерный университет «МИФИ», Москва, Россия

Исследовали влияние импульсного облучения плазмой на установке КСПУ-Т на покрытие кристаллического карбида бора B₄C. Длительность прямоугольных импульсов плазмы составляла 0,5 мс с интервалом между импульсами 5—10 мин. Максимальная плотность мощности в середине плазменного потока достигала величины 1 ГВт/м². Толщина покрытия на различных участках поверхности составляла от 20 до 40 мкм. Описываются модификация поверхностных слоев и трансформация покрытия при повышенных температурах в процессе импульсного плазменного облучения в течение четырех последовательных серий импульсов. Показано, что покрытие карбида бора выдержало полный цикл испытаний при облучении 100 импульсами плазмы с максимальной плотностью мощности 1 ГВт/м². На поверхности покрытия не обнаружено значительных разрушений, а оставшийся после завершения испытаний слой покрытия сохранил кристаллическую структуру B₄C по всей зоне облучения на глубину поверхности не менее 2 мкм.

Ключевые слова: карбид бора, покрытие, плазма, облучение.

B₄C PROTECTIVE COATING UNDER IRRADIATION BY QSPA-T INTENSIVE PLASMA FLUXES

O.I. Buzhinskij¹, V.A. Barsuk¹, L.B. Begrambekov², N.S. Klimov^{1, 2}, V.G. Otroshchenko¹, A.B. Putrik¹

¹Troitsk Institute for Innovation and Fusion Research (TRINITI), Troitsk, Moscow, Russia

²National Research Nuclear University MEPhI (Moscow Engineering Physics Institute), Moscow, Russia

The effect of the QSPA-T pulsed plasma irradiation on the crystalline boron carbide B₄C coating was examined. The duration of the rectangular plasma pulses was 0.5 ms with 5—10 min interval between pulses. The maximal power density in the central part of plasma stream was 1 GW/m². The coating thickness varies from 20 to 40 μm on the different surface areas. Modification of the surface layers and coating transformation at the elevated temperature under plasma pulse irradiation during four successive series of impulses are described. It is shown that boron carbide coating withstood all test cycle by plasma irradiation total amount of 100 pulses with peak power density 1 GW/m². Constitutive surface deterioration was not detected and boron carbide coating kept crystal structure B₄C throughout irradiation zone at the surface depth no less 2 μm.

Key words: boron carbide, coating, plasma, irradiation.

ВВЕДЕНИЕ

Многочисленные эксперименты, выполненные на различных плазменных установках и в токамаках, показали, что покрытие из кристаллического карбида бора в большой степени отвечает основным требованиям, предъявляемым к свойствам материалов, используемых для непосредственно взаимодействующих с плазмой элементов установок УТС, в том числе и для ИТЭР. Основные технические характеристики кристаллического карбида бора B₄C, осаждённого на графиты МПГ-8 и РГТ, особенно низкие коэффициенты эрозии при облучении, малая способность к поглощению изотопов водорода, стойкость при высоких термических и радиационных нагрузках и др. наглядно были продемонстрированы в экспериментах при облучении электронными и ионными пучками (при тепловых нагрузках 1,1—1,3 ГВт/м²) в Национальной лаборатории Сандия [1], на плазменной пушке PLADIS в Университете Нью-Мексико [2], в диверторной плазме токамака DIII-D [3, 4] и на токамаках T-10 и T-11M [5, 6]. Во всех экспериментах покрытие сохраняло свою целостность, химический состав и структуру, никаких разрушений поверхности не зафиксировано. Следует отметить, что до настоящего времени не проводилось последовательного изучения воздействия плазменных потоков большой плотности мощности на покрытия кристаллического карбида бора B₄C и соответствующих ресурсных испытаний покрытия до полной деградации при облучении плазмой в экстремальных режимах. В настоящее время подробная информация о поведении покрытия под воздействием мощных плазменных потоков необходима для выбора материала возобновляемого защитного покрытия тайлов дивертора из вольфрама для ИТЭР и покрытий для альтернативных защитных материалов для других установок.

МЕТОДИКА ЭКСПЕРИМЕНТА

Эксперименты по облучению покрытия B_4C плазменным потоком проводили на установке КСПУ-Т, которая представляет собой одноступенчатый коаксиальный сильноточный плазменный ускоритель с собственным магнитным полем. Ускорение плазмы происходит между двумя коаксиальными электродами, к которым приложено электрическое напряжение от источника питания, а в зазор между электродами постоянно подаётся плазмообразующий газ. При постоянной подаче газа длительность плазменного потока определяется временем существования напряжения на электродах. Установка КСПУ-Т используется в основном для проведения ресурсных испытаний теплозащитных материалов, а также для исследования механизмов и продуктов эрозии. Исследуемые образцы устанавливаются на расстоянии 60 см от электродов ускорителя.

Облучение проводилось при нормальном падении потока плазмы по общей схеме, представленной на рис. 1. Мишень толщиной 20 мм изгото- влена из двух моноблоков графита МПГ-8 трапецидальной формы размером 55×120 мм с покрытием кристаллического B_4C , полученным методом CVD (газовое осаждение с применением химических реакций при высокой температуре). Внешний вид мишени, закреплённой на держателе винтами, представлен на рис. 2. Поскольку при проведении ресурсных испытаний защитных покрытий, облучаемых мощным потоком плазмы, эрозия материала растёт практически линейно с длительностью плазменного воздействия [7], то в программе работ запланировано проведение последовательных серий облучений потоком водородной плазмы вплоть до полного удаления покрытия. Длительность прямоугольного импульса плазмы составляла 0,5 мс с промежутками между импульсами 5—10 мин. Плотность энергии на поверхности мишени на оси потока со- ставляла 0,5 МДж/ m^2 в импульсе и спадала с рас- стоянием по закону Гаусса. Таким образом, плотность мощности облучения на оси потока 0,5 МДж/ m^2 /0,5 мс = 1 ГВт/ m^2 примерно соот- ветствовала предполагаемой средней мощности ЭЛМов ИТЭР [8]. На рис. 3 представлен профиль распределения тепловой нагрузки (плотности энергии) по поверхности мишени. Методика из- мерения пространственного распределения плот- ности энергии плазменного потока на мишени описывается в статье [9].

Импульсное облучение было проведено по- следовательно четырьмя сериями (общее количе- ство в серии по нарастанию 3, 15, 50 и 100 им- пульсов). Анализ поверхности и химического состава покрытия проводили методом растровой элек- тронной микроскопии, рентгеновского энергодисперсионного микроанализа (EDX) и рентгенострук- турного анализа.

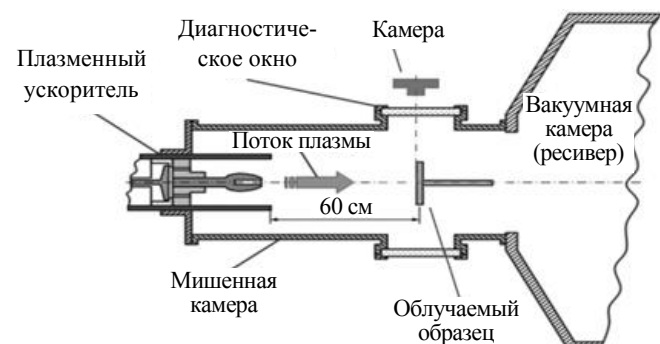


Рис. 1. Общая схема облучения мишени на установке КСПУ-Т



Рис. 2. Внешний вид мишени

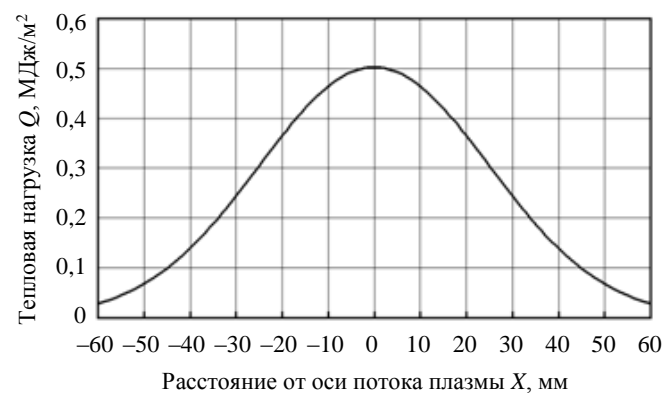


Рис. 3. Распределение плотности энергии по сечению потока плазмы

РЕЗУЛЬТАТЫ ОБЛУЧЕНИЯ В КСПУ-Т

Поверхность покрытия B_4C на мелкозернистом графите МПГ-8, полученного методом высокотемпературного газофазного осаждения с применением химических реакций, показана на рис. 4, *а*. На поверхности наблюдаются зёरна со средним размером ~ 5 мкм, ориентированные случайным образом. На поперечном сечении покрытия (рис. 4, *б*) до облучения различается плотный непрерывный нижний слой

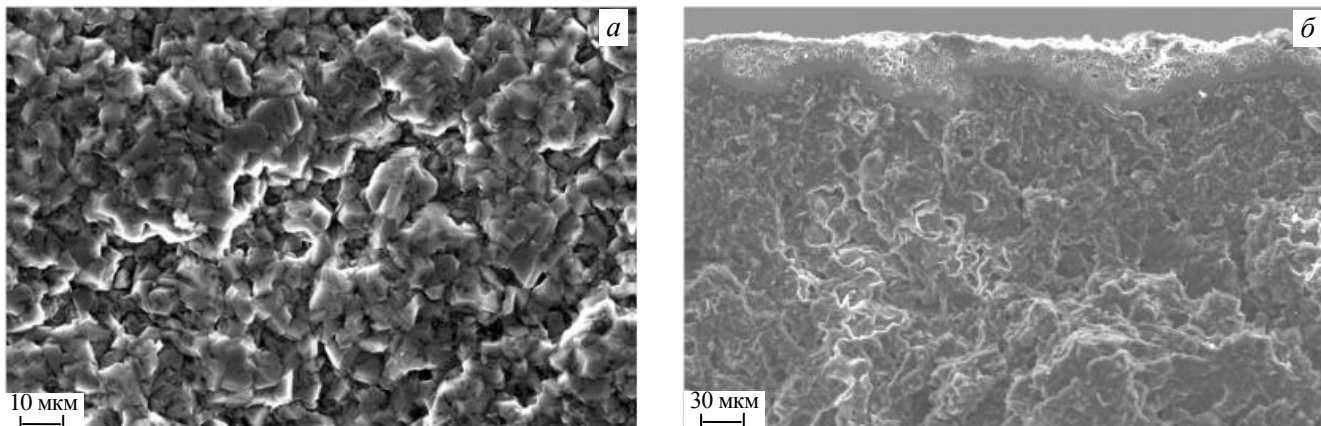


Рис. 4. Покрытие карбида бора B_4C перед облучением плазмой КСПУ-Т: *а* — поверхность верхнего слоя покрытия; *б* — поперечное сечение покрытия

толщиной 7—12 мкм, выше которого находится пористый верхний слой толщиной от 10 до 30 мкм. Общая толщина покрытия составляет 20—40 мкм на разных участках. Происхождение двух слоёв покрытия различной структуры связано с отклонениями в технологическом процессе осаждения при изготовлении используемых заготовок для опытной партии диверторных пластин. После трёх импульсов облучения плазмой КСПУ-Т частично изолированные микрокристаллы верхнего слоя трансформировались в гладкий сплошной поликристаллический слой с плоской поверхностью (рис. 5). Ограниченнное количество тонких трещин, возникших при затвердевании после оплавления поверхностного слоя покрытия, осталось между отдельными микрокристаллами. Модификация поверхности происходила на всей поверхности облучения, несмотря на то, что плотность мощности облучения на различных участках поверхности могла изменяться от 1,0 до 0,2 ГВт/м².

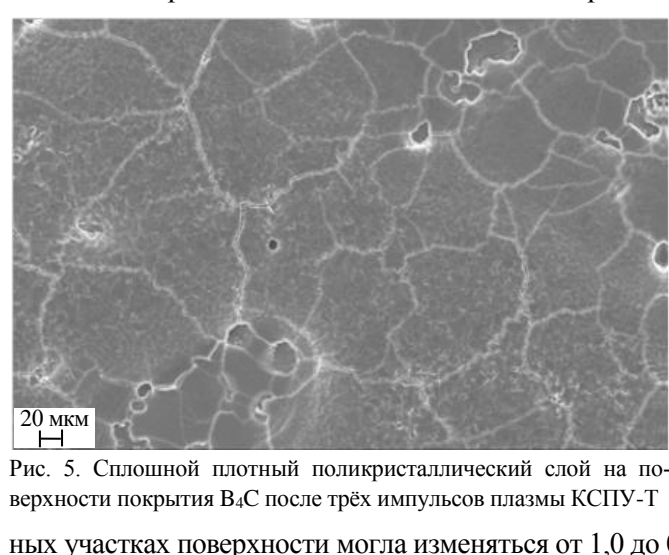


Рис. 5. Сплошной плотный поликристаллический слой на поверхности покрытия B_4C после трёх импульсов плазмы КСПУ-Т

Облучение 15 импульсами плазмы КСПУ-Т приводит путём трансформации поверхностного слоя к окончательной модификации покрытия, которое в дальнейшем остаётся практически неизменным после 50 и 100 импульсов. Верхний слой не сохраняется сплошным. Хотя он всё ещё покрывает некоторые участки поверхности, но значительная её часть собирается в отдельные изолированные островки, расположенные случайным образом по поверхности нижнего слоя (рис. 6, *а*). На участках поверхности, облучённых

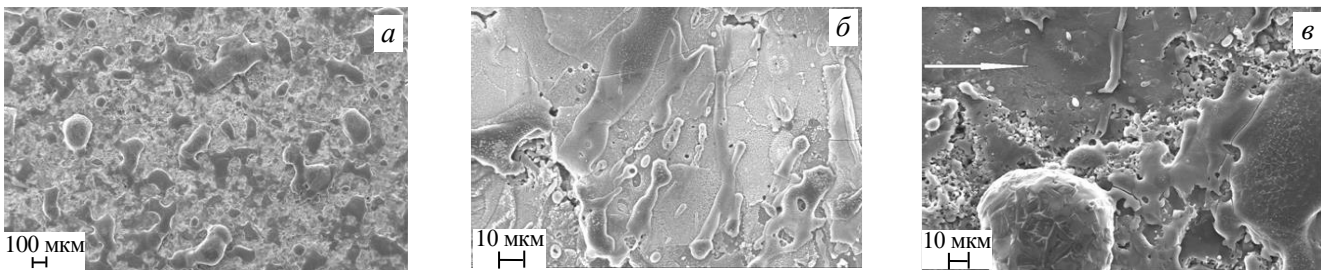


Рис. 6. Покрытие B_4C после 100 импульсов КСПУ-Т: *а* — островки верхнего слоя на поверхности нижнего слоя; *б* — вытянутые продолговатые островки верхнего слоя; *в* — впадина в нижнем слое (по стрелке)

плазмой с более высокой плотностью мощности, островки вытягиваются в направлении уменьшения плотности мощности облучения (рис. 6, б). Предполагается, что верхний слой расплавляется под облучением и затем застывает в виде островков (капель). Толщина островков нижнего слоя после 100 импульсов облучения не превышает нескольких микрон после почти полной эрозии верхнего слоя. Соотношение В:С (отношение атомарных концентраций бора и углерода) для фрагментов верхнего слоя находится в пределах между 4,0 и 2,7, а для нижнего слоя от 2,7 до 1,7. Нижний слой остаётся сплошным на большей части поверхности. Можно предположить, что впадины на нижнем слое, отмеченные стрелкой (рис. 6, б), появляются на участках с малой толщиной, которые образуются при осаждении покрытия, или появляются из-за того, что отдельные дефекты на поверхности графита препятствуют формированию слоя покрытия с соответствующей адгезией к графиту. Расплавление слоя B_4C , осаждённого на графит МПГ-8 с низкой теплопроводностью, под действием импульсов плазмы КСПУ-Т высокой плотностью мощности было вполне ожидаемым. Расчёты показали, что из-за низкой теплопроводности графита температура на поверхности покрытия превышает 2400 К даже на участках поверхности, облучённых с наименьшей плотностью мощности на периферии мишени, при этом температура плавления B_4C составляла около 2600 К. Вместе с тем, несмотря на эрозию большей части нижнего слоя покрытия, оно всё ещё оставалось сплошным и защищало графит от разрушения. Исследование в растровом электронном микроскопе под углом 45° кромки излома с покрытием на образце из центральной зоны облучения мишени показало, что визуально наблюдаются участки исходного плотного нижнего слоя покрытия толщиной 2—5 мкм при облучении 100 импульсами плазмой с плотностью мощности 0,8 ГВт/м² (рис. 7, б). Но на участках поверхности покрытия в центре потока, облучённых плазмой с плотностью мощности 1,0 ГВт/м², зафиксированы в основном островки после расплавления поверхностного слоя (рис. 7, а). Величина соотношения В:С в поверхностном слое в зоне облучения на расстоянии 1 см от центра потока плазмы после 100 импульсов находится между 4:1 в островках и около 1:1 в участках с дефектами (рис. 8).

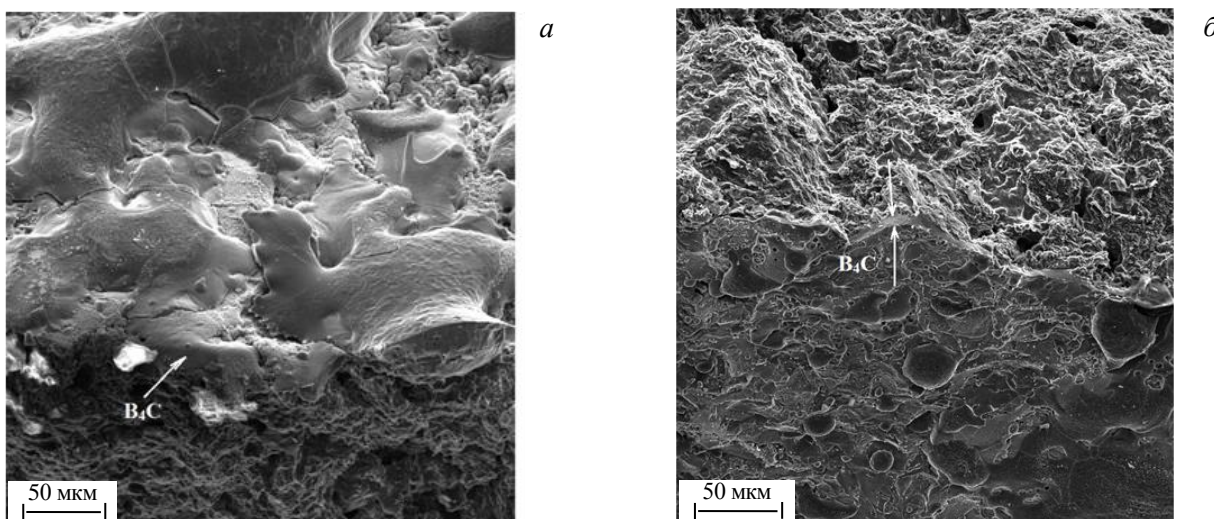


Рис. 7. РЭМ-изображение кромки излома в центре зоны облучения покрытия B_4C после 100 импульсов плазмы: а — зона облучения с плотностью мощности 1,0 ГВт/м²; б — зона облучения с плотностью мощности 0,8 ГВт/м²

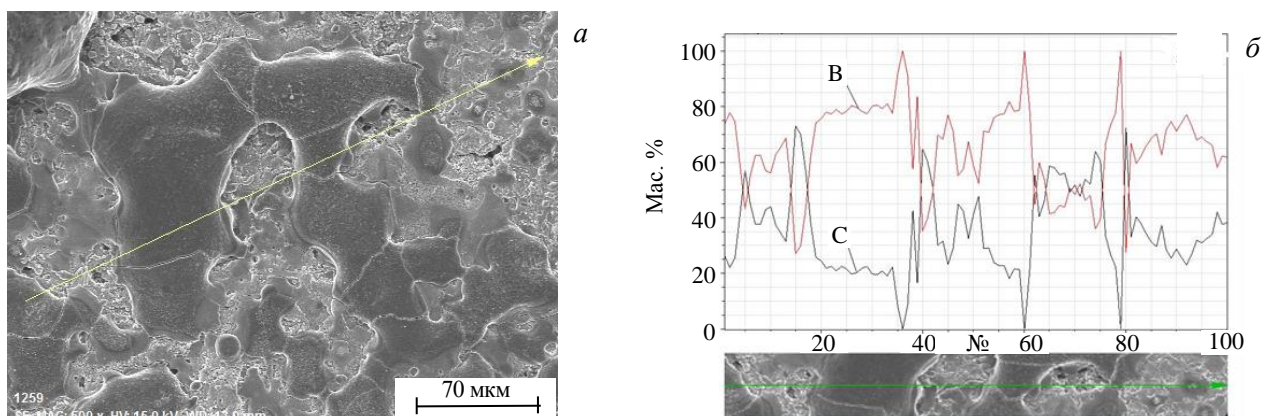


Рис. 8. EDX-спектр участка поверхности: а — фотография поверхности; б — распределение массовой концентрации В и С как результат EDX-анализа и фрагмент снимка вдоль жёлтой стрелки на рис. 8, а

отметить, что поверхность вольфрама, облучённого в тех же условиях 100 импульсами с плотностью мощности 1 ГВт/м², покрывается сетью трещин. Ширина трещин составляет от 2 до 20 мкм, и они распространяются на глубину поверхности до 1 мм.

Для рентгеновского дифракционного анализа с целью определения кристаллической структуры покрытия после завершения испытаний из облучённого плазмой моноблока была вырезана по центру полоса шириной 8 и толщиной 5 мм по направлению от поверхности в глубь образца. Полоса из графита с покрытием была разломана на шесть образцов по всей длине через каждый 1,0 см. Таким образом, получены образцы участков поверхности с разной интенсивностью воздействия плазменного потока. Середина первого образца находилась на расстоянии 0,5 см от центра плазменного потока, самого дальнего — на расстоянии 5,5 см от центра. Кристаллическую структуру и фазовый состав покрытия исследовали с помощью рентгеновского дифрактометра ДРОН-3 на фильтрованном излучении Со, линии К_α. Типичная дифрактограмма поверхности образца (обозначение: графит + B₄C — расстояние от центра плазменного потока) после облучения 100 импульсами плазмы КСПУ-Т приведена в табл. 1. В таблице указаны следующие параметры: 2θ — брэгговский угол дифракции; I — интенсивность дифракционной линии в отн. ед.; I/I₀ — отношение интенсивности линии в % к максимальной; d_{эксп} — измеренные межплоскостные расстояния кристаллической решётки; d_{табл} — табличные межплоскостные расстояния кристаллической решётки из карты рентгеновской картотеки ASTM 6-555; H, K, L — индексы Миллера.

Из анализа полученных результатов следует, что в данном образце графит + B₄C — 0,5 см (от центра потока плазмы) идентифицированы кристаллические фазы B₄C и графита.

Т а б л и ц а 1. Дифрактограмма образца графит + B₄C — 0,5 см (от центра потока плазмы) после облучения 100 импульсами плазмы КСПУ-Т*

№	2θ	I	I/I ₀	d _{эксп}	d _{табл}	H, K, L	Фаза	Примечание
1	22,86	2,0	0,5	4,5168	4,49	101	B ₄ C	ASTM 6-555
2	25,60	15,0	4,1	4,0402	4,02	003	B ₄ C	
3	27,28	10,0	2,7	3,7957	3,79	012	B ₄ C	
4	30,64	370,0	100,0	3,3879	3,36	002	С-графит	ASTM 6-555
5	40,78	80,0	21,6	2,5691	2,57	104	B ₄ C	
6	44,14	18,0	4,9	2,3823	2,38	021	B ₄ C	
7	49,62	26,0	7,0	2,1332	2,13	100	С-графит	
8	52,00	25,0	6,8	2,0419	2,03	101	С-графит	
9	63,00	7,0	1,9	1,7131	1,714	205	B ₄ C	
10	64,00	19,0	5,1	1,6891	1,678	004	С-графит	
11	76,60	3,0	0,8	1,4442	1,446	018	B ₄ C	
12	79,35	2,0	0,5	1,4020	1,403	220	B ₄ C	
13	90,70	3,0	0,8	1,2582	1,261	306	B ₄ C	
14	93,18	30,0	8,1	1,2322	1,232	110	С-графит	
15	101,30	11,0	3,0	1,1575	1,158	112	С-графит	

*Режим съёмки: излучение Со, линия К_α ($\lambda = 1,79021 \text{ \AA}$); ускоряющее напряжение 30 кВ; ток 40 мА; щель 1—2,0 мм и 2—0,1 мм; щель горизонтальная 6,0 мм; диапазон 1000; фильтр есть.

Для оценки количественного соотношения фаз графита и карбида бора в приповерхностном слое образцов использовали отношение интенсивностей рентгеновских линий 021 для B₄C и 100 для графита (близко расположенных на дифрактограмме). Соответствующие данные представлены в табл. 2. Отметим, что в этой области углов отражения площадь исследуемой поверхности составляет $\sim 5 \times 5$ мм.

Т а б л и ц а 2. Зависимость соотношения интенсивностей дифракционных линий от расстояния от центра потока плазмы до середины облучённого образца

Расстояние от центра потока до середины образца, см	0,5	1,5	2,5	3,5	4,5	5,5	Исходный образец
I ₀₂₁ (B ₄ C)/I ₁₀₀ (С-графит)	0,69	0,80	1,12	1,35	1,64	1,90	4,0

Видно, что по мере приближения к центральной зоне облучения от периферии мишени интенсивность фазы кристаллического B₄C по сравнению с графитом естественным образом снижается из-за уменьшения толщины покрытия за счёт эрозии при облучении плазмой. Однако даже в зоне с максимальной плотностью мощности облучения оставшееся покрытие сохраняет кристаллическую структуру B₄C, а не является аморфным.

Интересно, что интенсивность всех линий графита по мере удалённости от центра потока падает (в соответствии с большей толщиной остающегося покрытия B₄C), но интенсивности линий фазы B₄C ве-

дут себя не одинаково, что связано с перекристаллизацией оплавленного слоя покрытия и возникновением при затвердевании определённой текстуры. Несмотря на существенное перераспределение интенсивностей линий B₄C на различных участках, в целом содержание B₄C как фазы на всей поверхности мишени радикально не меняется. Если на самом большом расстоянии от центра потока сохраняется сплошное покрытие толщиной до 20 мкм, то вблизи центра потока основной вклад в интенсивность линий B₄C вносят каплевидные островки оплавленного и перекристаллизованного материала. Участки сплошной пленки здесь не превышают 2—5 мкм при толщине исходного покрытия 20—40 мкм.

ВЫВОДЫ

На установке КСПУ-Т выполнено тестовое облучение покрытия кристаллического B₄C на графите 100 импульсами плазмы с экстремально высокой плотностью мощности до 1 ГВт/м². Покрытие карбида бора в процессе испытаний при сверхвысоких тепловых нагрузках подверглось существенной трансформации, но сохранило кристаллическую структуру B₄C на всей поверхности в зоне облучения. После 100 импульсов плазмы на отдельных участках покрытия всё ещё сохранился исходный сплошной плотный слой B₄C толщиной не менее 2 мкм даже в центральной области облучения с плотностью мощности не менее 0,8 ГВт/м². Результаты ресурсных испытаний при облучении высокоэнергетическими потоками плазмы показывают, что покрытие кристаллического B₄C является перспективным защитным покрытием для диверторных тайлов ИТЭР, особенно с учётом возможности его возобновления непосредственно в плазме токамака.

Авторы выражают искреннюю признательность профессору Э.А. Азизову за плодотворные дискуссии, постоянный интерес и поддержку в работе.

СПИСОК ЛИТЕРАТУРЫ

1. Buzhinskij O.I., Opimach I.V., Barsuk V.A. et al. — J. Nucl. Mater., 1995, vol. 220—222, p. 922—925.
2. Buzhinskij O.I., Barsuk V.A., Opimach I.V. et al. — Ibid., 1996, vol. 233—237, p. 787—790.
3. Skorodumov B.G., Buzhinskij O.I., West W.P. et al. — Ibid., p. 1107—1112.
4. Whyte D.G., Bastasz R., Brooks J.N. et al. — Ibid., 1999, vol. 266—269, p. 67—73.
5. Buzhinskij O.I., Barsuk V.A., Kovan I.A., Otroshchenko V.G. — Plasma Devices and Operation, 2003, vol. 11, № 4, p. 243—249.
6. Barsuk V.A., Buzhinskij O.I., Vershkov V.A. et al. — J. Nucl. Mater., 1992, vol. 191—194, p. 1417—422.
7. Архипов Н.И., Бахтин В.П., Васенин С.Г. и др. — Физика плазмы, 2001, т. 27, № 3, с. 243—249.
8. Loewenhoff Th., Durger A., Linke J., Pibchuk G., Schmidt A., Singheiser L. — Phys. Scr., 2011, vol. 145, p. 014057.
9. Климов Н.С., Подковыров В.Л., Житлухин А.М. и др. — ВАНТ. Сер. Термоядерный синтез, 2009, вып. 2, с. 52—61.

¹ГОСУДАРСТВЕННЫЙ НАУЧНЫЙ ЦЕНТР РОССИЙСКОЙ ФЕДЕРАЦИИ ТРОИЦКИЙ ИНСТИТУТ ИННОВАЦИОННЫХ И ТЕРМОЯДЕРНЫХ ИССЛЕДОВАНИЙ, 142190 МОСКВА, ТРОИЦК, УЛ. ПУШКОВЫХ, 12, РОССИЯ

²НАЦИОНАЛЬНЫЙ ИССЛЕДОВАТЕЛЬСКИЙ ЯДЕРНЫЙ УНИВЕРСИТЕТ «МОСКОВСКИЙ ИНЖЕНЕРНО-ФИЗИЧЕСКИЙ ИНСТИТУТ», 115409 МОСКВА, КАШИРСКОЕ Ш. 31, РОССИЯ



Олег Игоревич Бужинский¹, начальник лаборатории, д. техн. н.



Владимир Андреевич Барсук¹, ведущий инженер



Владимир Григорьевич Отрошенко¹, н.с.



Леон Богданович Беграмбеков², профессор, д.ф.-м.н.
lbb@plasma.mephi.ru



Николай Сергеевич Климов¹, н.с., к.ф.-м.н.
klimov@triniti.ru



Антон Борисович Путрик¹, н.с.
putrik@triniti.ru

Статья поступила в редакцию 26 марта 2015 г.

Вопросы атомной науки и техники.
Сер. Термоядерный синтез, 2015, т. 38, вып. 2, с. 32—37.